



MODELE
IMGW-PIB
modele.imgw.pl

INFORMATOR METEOROLOGICZNY LMM

NUMER 89 / CZERWIEC 2026
DRUGA DEKADA
TERYTORIUM RZECZPOSPOLITEJ POLSKIEJ

modele.imgw.pl

Spis treści

1. Wstęp

str. 3

str. 4

2. Minimalna temperatura powietrza

3. Maksymalna temperatura powietrza

str. 6

str. 8

4. Średnia temperatura powietrza

5. Opad atmosferyczny

str. 9

str. 12

6. Liczba wyładowań doziemnych

7. Grubość pokrywy śnieżnej

str. 13

str. 14

8. Usłonecznienie

Uwaga. Rozpowszechnianie danych zawartych w Informatorze Meteorologicznym dozwolone jest wyłącznie z podaniem IMGW-PIB jako źródła informacji. Opublikowane dane pochodzą z operacyjnej bazy danych i mogą ulec zmianie po weryfikacji. Nie mogą one służyć jako materiał dowodowy w sprawach procesowych.

W Informatorze Meteorologicznym LMM drugiej dekady czerwca 2026 roku wykorzystano dane pomiarowe ze stacji synoptycznych sieci pomiarowo-obszaryjnej Państwowej Służby Hydrologiczno-Meteorologicznej (PSHM). W podsumowaniu nie uwzględniono wysokogórskich obserwatoriów meteorologicznych na Śnieżce i Kasprowym Wierchu (z wyjątkiem danych grubości pokrywy śnieżnej). Opublikowane dane, w czasie lokalnym, pochodzą z operacyjnej bazy danych, które po kontroli i weryfikacji mogą ulec zmianie.

O znaczeniu pomiarów meteorologicznych

Stacje meteorologiczne funkcjonujące w ramach ustalonych i jednorodnych standardów Światowej Organizacji Meteorologicznej (WMO) są najistotniejszym źródłem obserwacji i pomiarów meteorologicznych. Prowadzenie ciągłych, o stałych porach i jednorodnych pomiarów pozwala śledzić i porównywać zmiany zachodzące w atmosferze. Choć nie wszystkie mają charakter ciągły i obszarowy, stąd zdarza się, że nie zostaną zarejestrowane na danej stacji. Osłoną meteorologiczną i hydrologiczną kraju zajmuje się Państwowa Służba Hydrologiczno-Meteorologiczna działająca w ramach Instytutu Meteorologii i Gospodarki Wodnej – Państwowego Instytutu Badawczego. Zjawiska zachodzące w atmosferze podlegają zmienności w czasie i przestrzeni, wobec czego – w celu prowadzenia skutecznej osłony – wymagają zapewnienia i utrzymania odpowiedniej i reprezentatywnej dla obszaru osłony liczby stacji meteorologicznych. Dane pochodzące ze stacji meteorologicznych są podstawowym źródłem informacji o bieżącej pogodzie. To na ich podstawie powstają ostrzeżenia meteorologiczne i hydrologiczne, opracowywane są synoptyczne prognozy pogody, powstają ekspertyzy czy badania naukowe, których wyniki wspierają również rozwój innych dziedzin czy sektorów gospodarki. Dane pochodzące z obserwacji są niezbędne do przeprowadzenia symulacji numerycznych procesów fizycznych w atmosferze przy użyciu numerycznych modeli pogody.

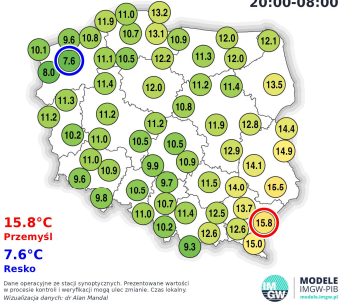
Stacje synoptyczne

Obecnie na świecie funkcjonuje około 10 000 stacji synoptycznych (WMO). Stacje te szyfrują dane za pomocą ustalonego międzynarodowego klucza do szyfrowania wyników przyziemnych obserwacji meteorologicznych dla celów synoptycznych i w możliwie najszybszym czasie przesyłają je do krajowych biur meteorologicznych w postaci depechy SYNOP, a stamtąd po weryfikacji trafiają do wspólnej sieci i dostępne są również w krajowych, regionalnych i światowych centrach meteorologicznych. Każda służba na świecie dysponuje danymi ze swojego obszaru oraz z obszarów osłony zlokalizowanych na powierzchni całej kuli ziemskiej. Pogoda nie ogranicza się do obszaru danego państwa, lecz jest ponadnarodowa, a jeden proces daleko od granic czy kontynentu potrafi uruchomić lawinę innych, co wpływa na pogodę w pozostałych częściach globu. Pomiarów na stacjach synoptycznych wykonywane są o każdej pełnej godzinie czasu uniwersalnego (UTC) i kodowane według formatu depechy SYNOP. Obserwacje meteorologiczne dla celów synoptycznych prowadzone są bez przerwy przez 24 godziny. Obserwatorzy stacji obserwują pogodę na bieżąco, notując rodzaj zjawiska, czas jego rozpoczęcia i zakończenia. O pełnej godzinie obserwator dokonuje odczytu temperatury powietrza, temperatury termometru zwilżonego, ciśnienia, kierunku i prędkości wiatru, określa widzialność, tendencję ciśnienia. Notuje informacje o wysokości opadu oraz o jego rodzaju. Szyfruje pogodę bieżącą i ubiegłą oraz określa rodzaj, gatunek i odmianę chmur występujących na niebie. W okresie zimowym określa stan pokrywy oraz grubość pokrywy i wysokość śniegu świeżo spadłego. Na podstawie pomiarów podaje się maksymalną i minimalną temperaturę powietrza, dokonuje się odczytu temperatury przy powierzchni gruntu oraz określa się średnią dobową istotnych pól meteorologicznych.

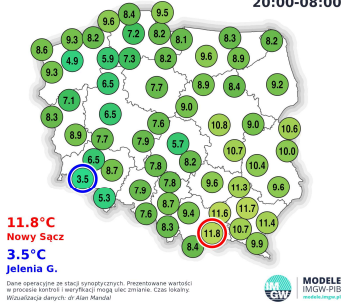
2. Minimalna temperatura powietrza



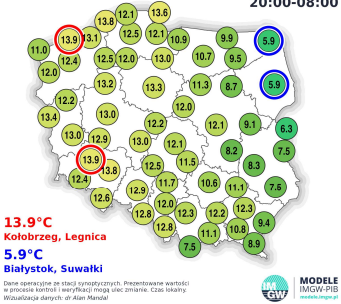
Temperatura minimalna
Środa / Czw.
10.06.26 / 11.06.26
20:00-08:00



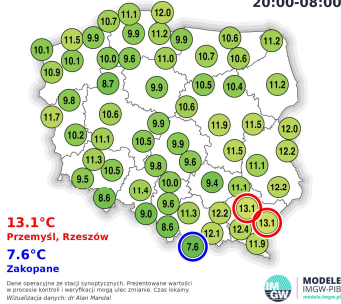
Temperatura minimalna
Czwartek / Pt.
11.06.26 / 12.06.26
20:00-08:00



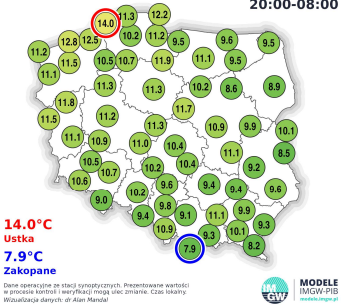
Temperatura minimalna
Piątek / Sob.
12.06.26 / 13.06.26
20:00-08:00



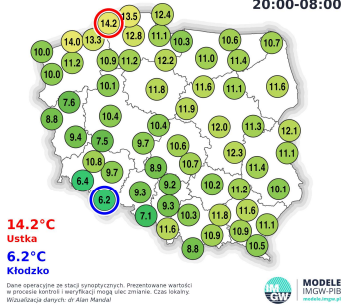
Temperatura minimalna
Sobota / Niedz.
13.06.26 / 14.06.26
20:00-08:00



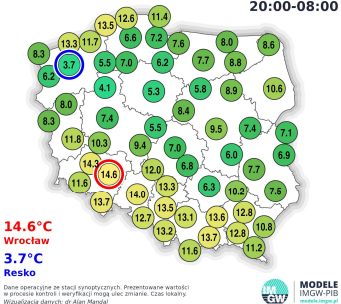
Temperatura minimalna
Niedziela / Pon.
14.06.26 / 15.06.26
20:00-08:00



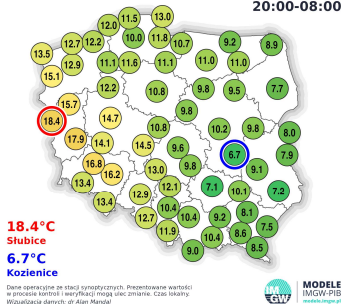
Temperatura minimalna
Poniedziałek / Wt.
15.06.26 / 16.06.26
20:00-08:00



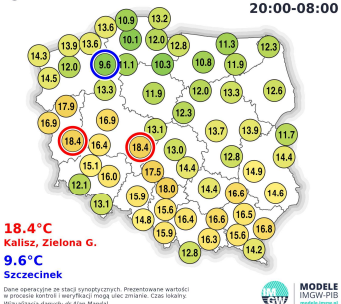
Temperatura minimalna
Wtorek / Śr.
16.06.26 / 17.06.26
20:00-08:00



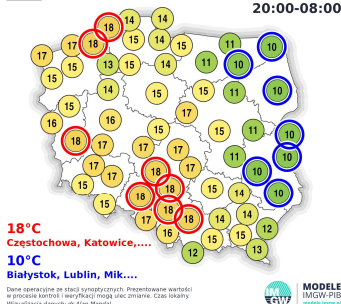
Temperatura minimalna
Środa / Czw.
17.06.26 / 18.06.26
20:00-08:00



Temperatura minimalna
Czwartek / Pt.
18.06.26 / 19.06.26
20:00-08:00



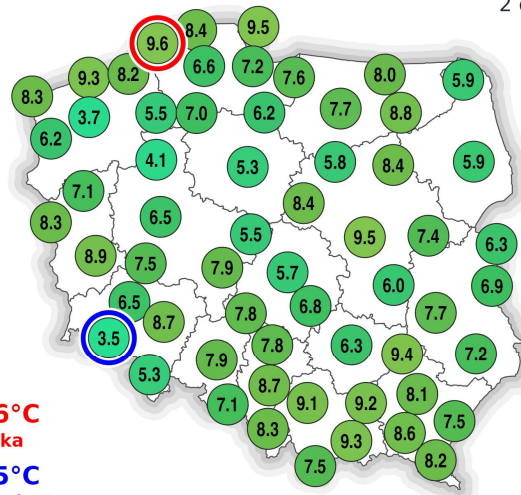
Temperatura minimalna 5 cm
Piątek / Sob.
19.06.26 / 20.06.26
20:00-08:00



Druga dekada miesiąca
W nocy (od godziny 20:00 do 8:00) najniższą minimalną temperaturę powietrza zarejestrowano 12 czerwca na stacji synoptycznej w Jeleniej Górze (3,5°C). Najwyższą minimalną temperaturę powietrza zarejestrowano 17 czerwca na stacji synoptycznej w Ślubicach oraz 19 czerwca w Kaliszu i Zielonej Górze (18,4°C).

Temperatura minimalna

CZERWIEC
2026
2 dekada

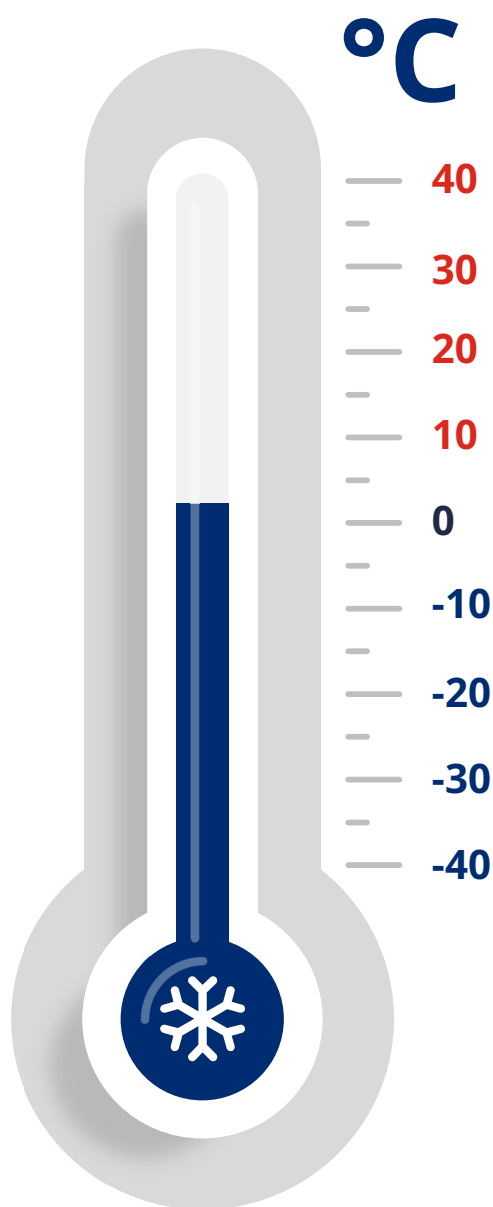


9.6°C
Ustka
3.5°C
Jelenia G.

Opracowano na podstawie danych operacyjnych ze stacji synoptycznych. Prezentowane wartości w procesie kontroli i weryfikacji mogą ulec zmianie. Wizualizacja danych; dr Alan Mandal

Dane pochodzą z operacyjnej bazy danych i mogą ulec zmianie po weryfikacji.

Jelenia Góra

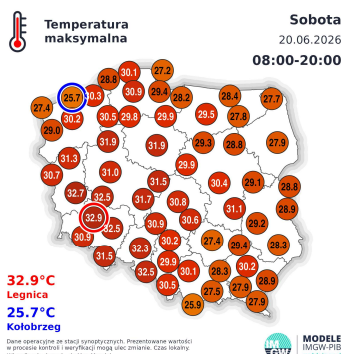
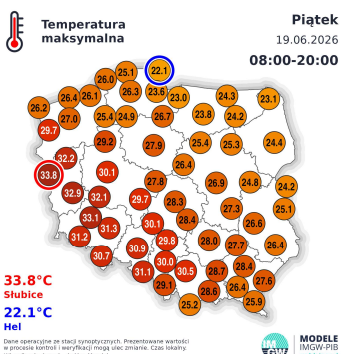
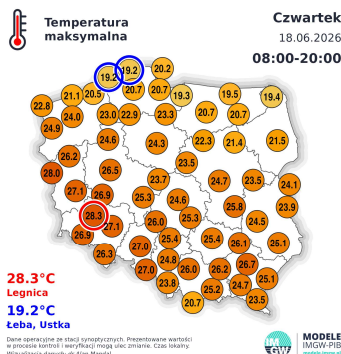
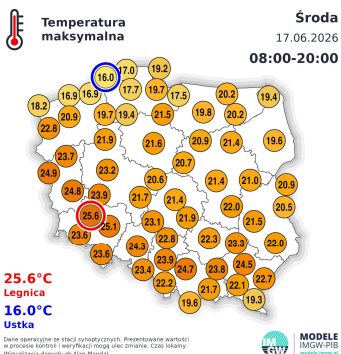
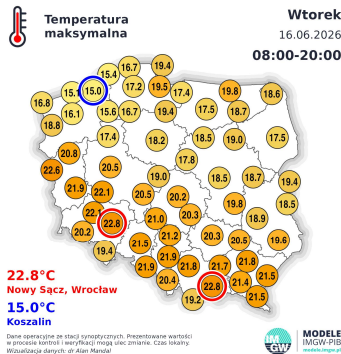
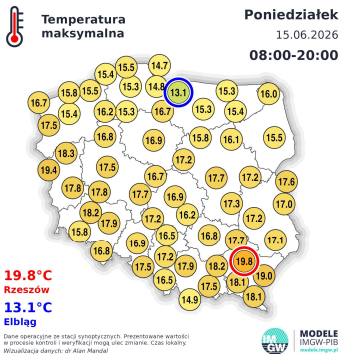
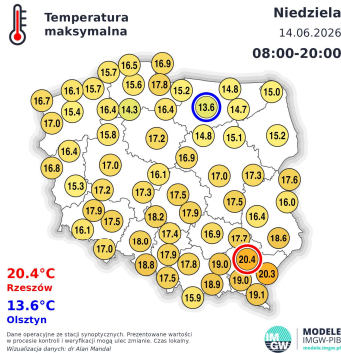
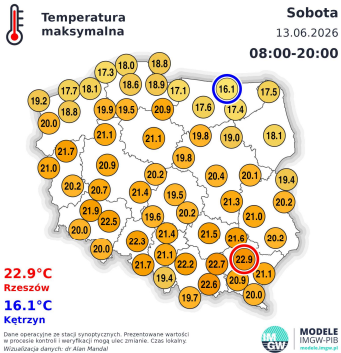
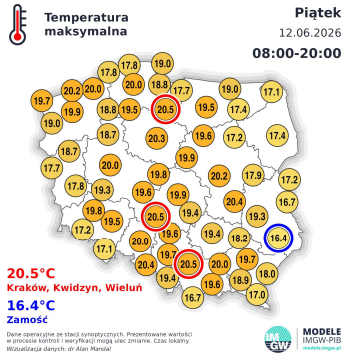
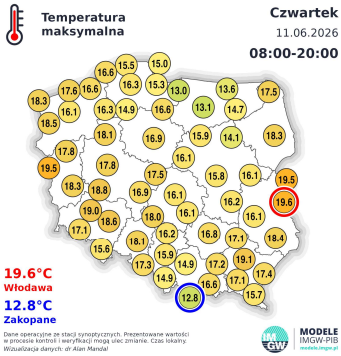


**Minimalna temperatura
 powietrza od 11 do 20
 czerwca 2026 roku**

**Jelenia Góra 12.06.2026
 (woj. dolnośląskie)**

3,5°C

3. Maksymalna temperatura powietrza



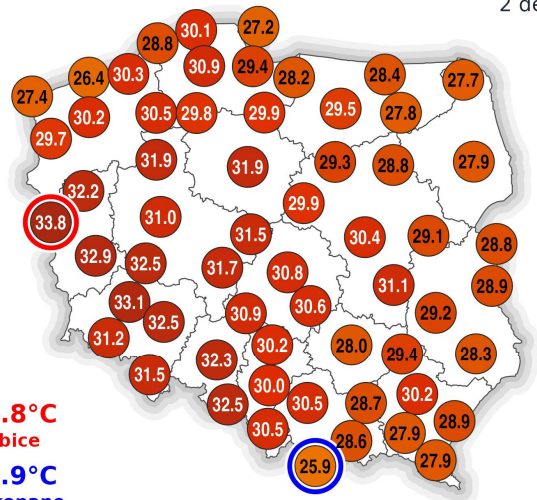
Druga dekada miesiąca

W dzień (od godziny 8:00 do 20:00) najniższą maksymalną temperaturę powietrza zarejestrowano 11 czerwca w Zakopanem (12,8°C). Najwyższą maksymalną temperaturę powietrza odnotowano 19 czerwca w Słubicach (33,8°C).



Temperatura maksymalna

CZERWIEC
2026
2 dekada

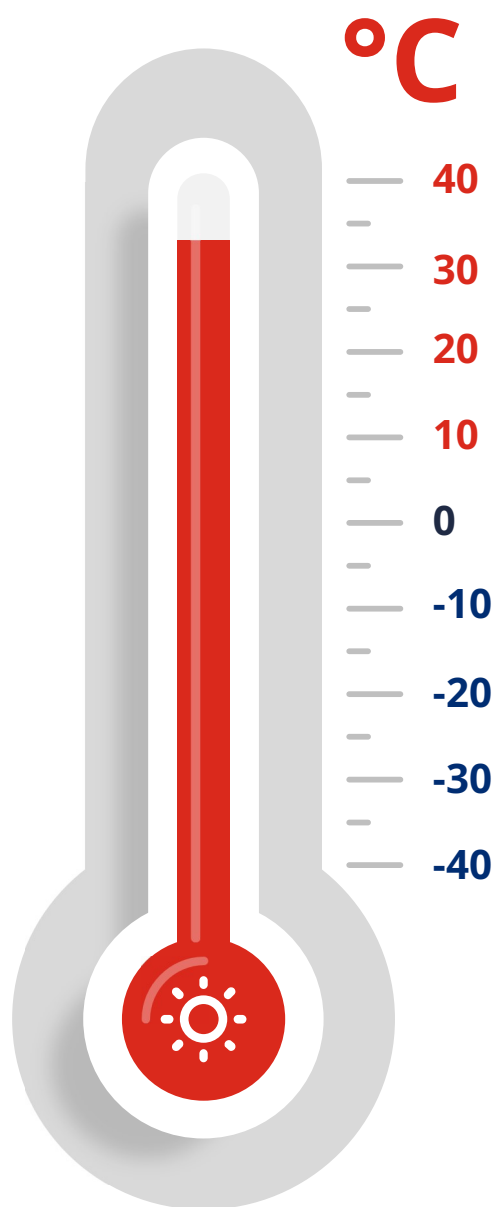


33.8°C
Słubice
25.9°C
Zakopane

Opracowano na podstawie danych operacyjnych ze stacji synoptycznych. Prezentowane wartości w procesie kontroli i weryfikacji mogą ulec zmianie. Wizualizacja danych: dr Alan Mandat



Słubice

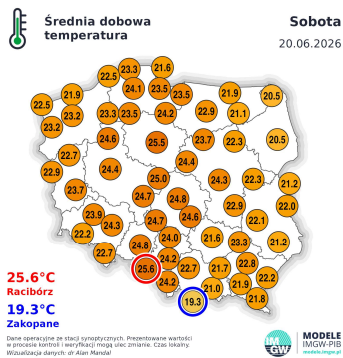
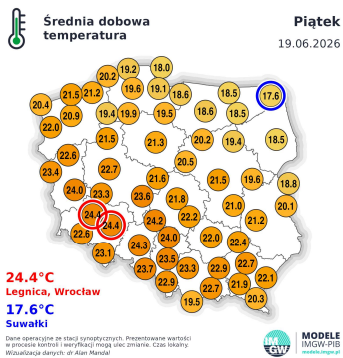
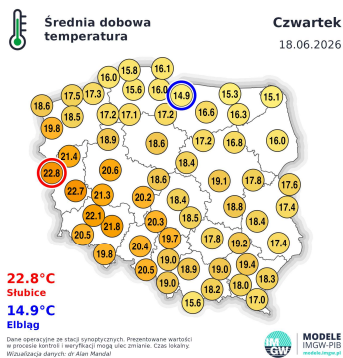
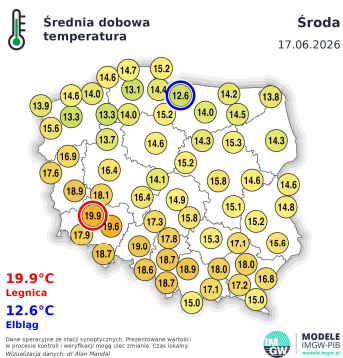
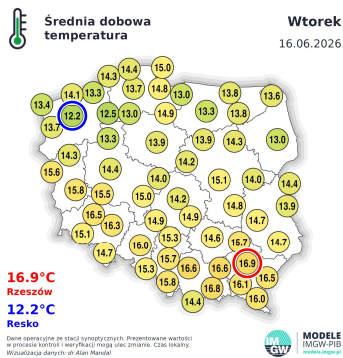
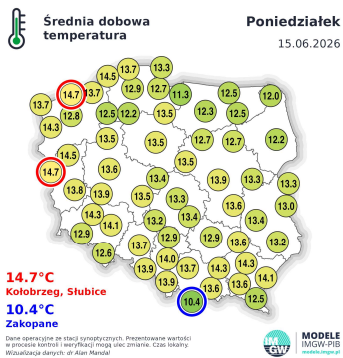
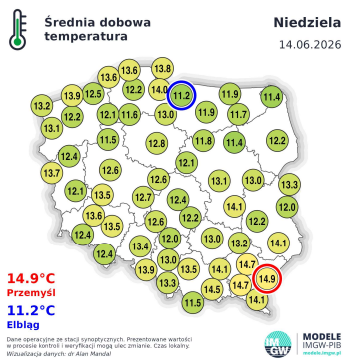
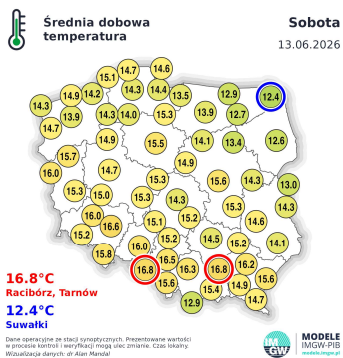
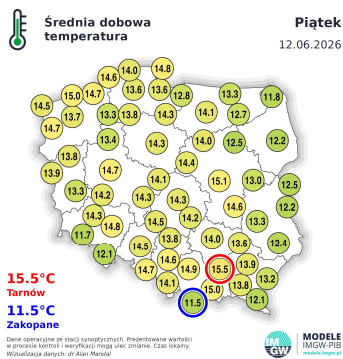
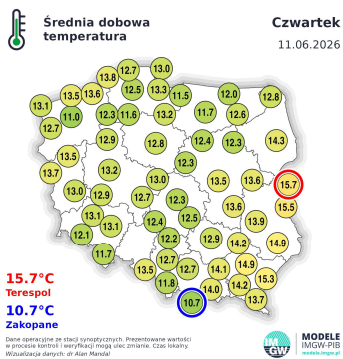


Maksymalna temperatura
powietrza od 11 do
20 czerwca 2026 roku

Słubice 19.06.2026
(woj. lubuskie)

33,8°C

4. Średnia temperatura powietrza

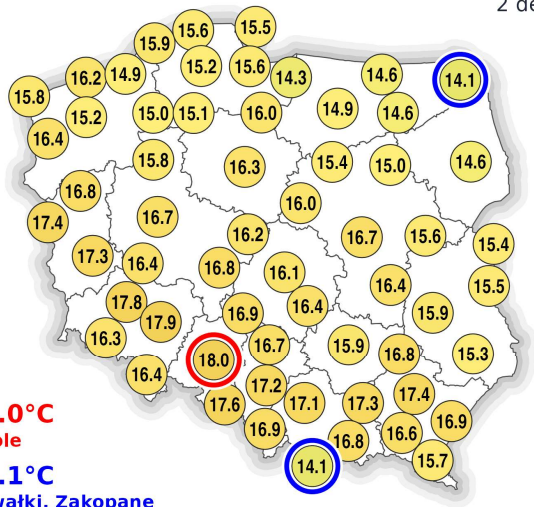


Druga dekada miesiąca

Najniższą średnią dobową temperaturę powietrza zanotowano 15 czerwca w Zakopanem (10,4°C) a najwyższą średnią dobową temperaturę powietrza zarejestrowano 20 czerwca w Raciborzu (25,6°C).

Najniższą średnią dobową (obszarową) temperaturę powietrza zanotowano 14 czerwca (12,6°C) a najwyższą 20 czerwca (23,1°C).

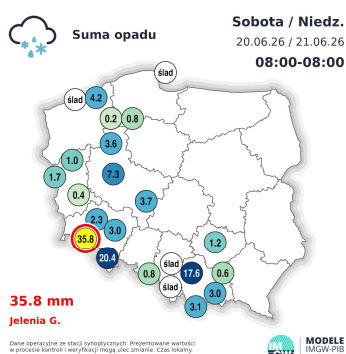
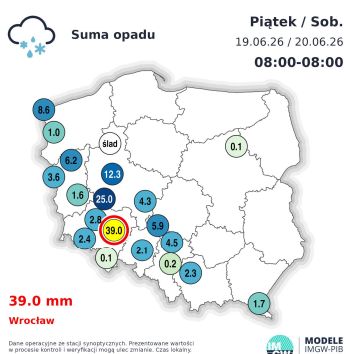
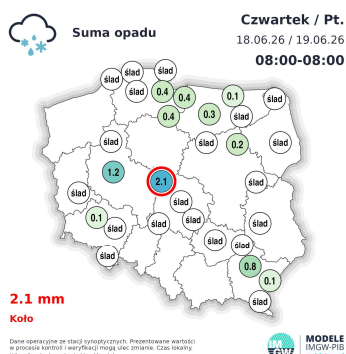
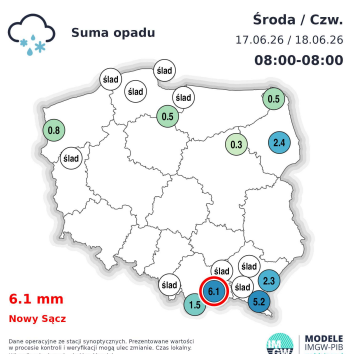
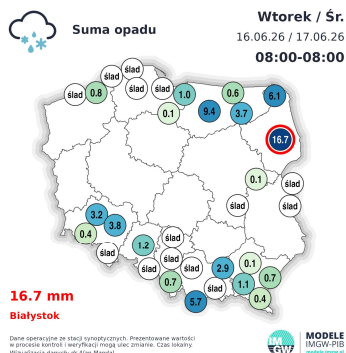
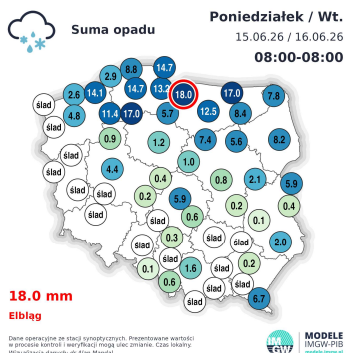
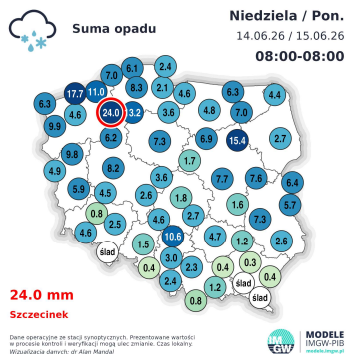
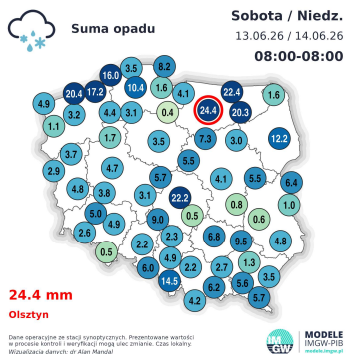
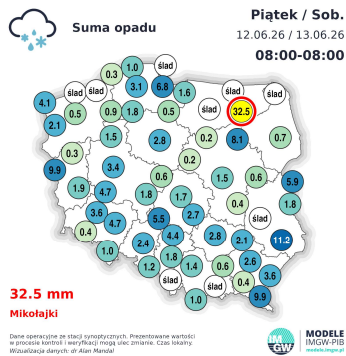
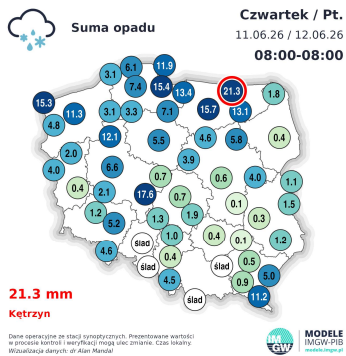
Średnia temperatura **CZERWIEC**
2026
2 dekada



Opracowano na podstawie danych operacyjnych ze stacji synoptycznych. Prezentowane wartości w procesie kontroli i weryfikacji mogą ulec zmianie. Wizualizacja danych: dr Alan Mandal



W ciągu dziesięciu dni drugiej dekady miesiąca najniższą średnią temperaturę powietrza odnotowano w Suwałkach i Zakopanem (14,1°C), a najwyższą w Opolu (18,0°C).



Druka dekada miesiąca

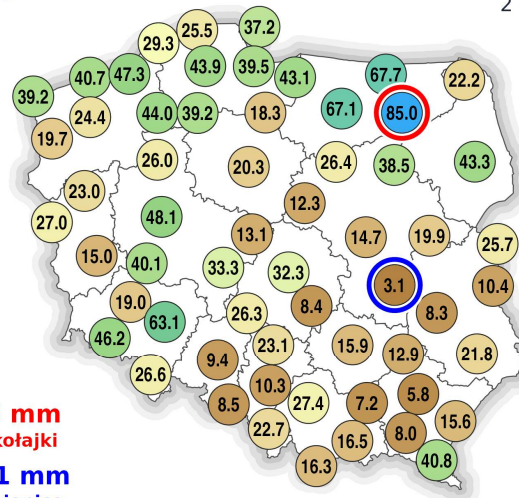
W drugiej dekadzie miesiąca najwyższą dobową sumę opadu atmosferycznego odnotowano 19 czerwca (doba opadowa*) we Wrocławiu (39,0 mm).

*Pomiar opadu wykonywany jest o godz. 6:00 UTC (dla Polski lokalny czas zimowy +1 godz., lokalny czas letni +2 godz.) i obejmuje 24 godz. okres – od godz. 6:00 UTC dnia poprzedzającego pomiaru do godz. 6:00 UTC w dniu wykonania pomiaru. Po wykonaniu pomiaru opadu jego wysokość zapisana zostaje pod datą dnia poprzedzającego (1,0 mm = 1 litr/m²).



Suma opadu

CZERWIEC
2026
2 dekada



85.0 mm
Mikołajki

3.1 mm
Kozienice

Opracowano na podstawie danych operacyjnych ze stacji synoptycznych. Prezentowane wartości w procesie kontroli i weryfikacji mogą ulec zmianie. Wizualizacja danych: dr Alan Mandal



MODELE
IMGW-PIB
modele.imgw.pl

W okresie drugiej dekady czerwca najwyższa suma opadu wystąpiła w Mikołajkach (85,0 mm).



Maksymalna suma opadu
atmosferycznego od 11 do
20 czerwca 2026 roku

Mikołajki
(woj. warmińsko-mazurskie)

85,0 mm

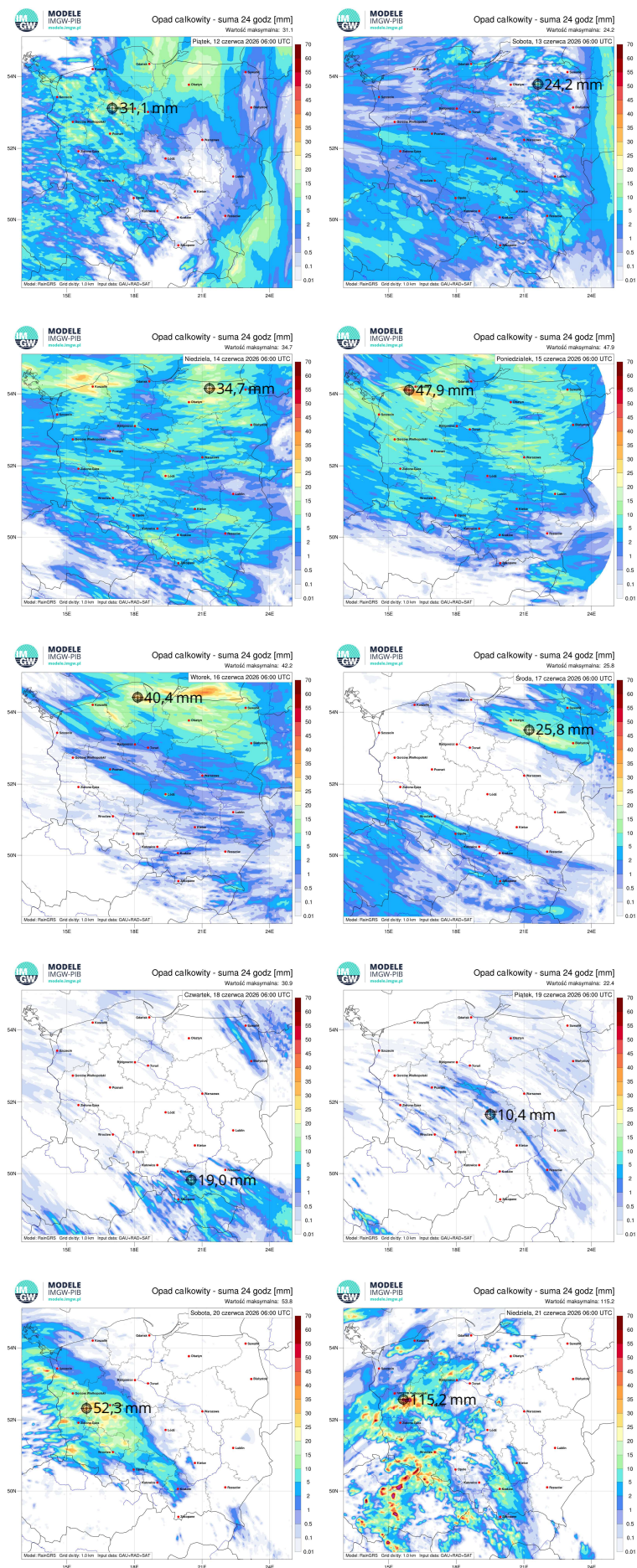
Minimalna suma opadu
atmosferycznego od 11 do
20 czerwca 2026 roku

Kozienice
(woj. mazowieckie)

3,1 mm

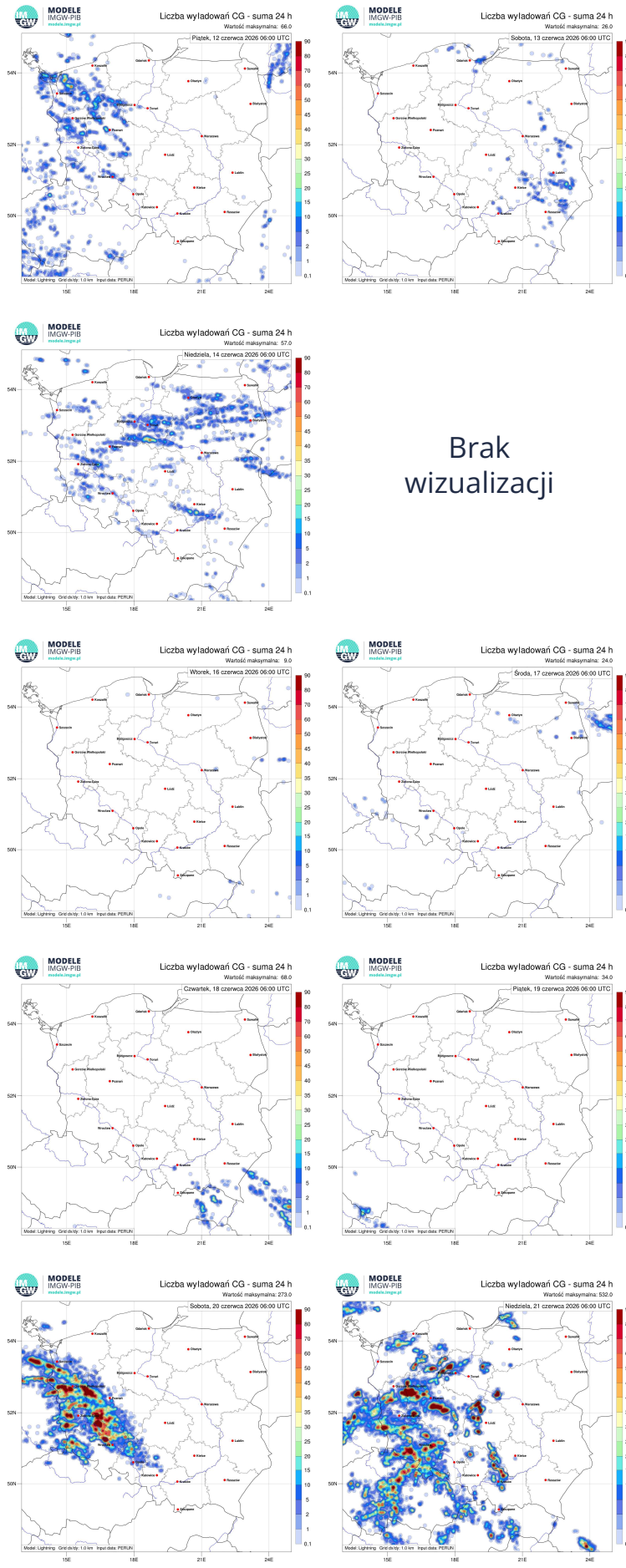
Opad całkowity – suma 24 godz. System RainGRS

System RainGRS generuje estymowane pola opadu z wysoką rozdzielczością czasową i przestrzenną (10 min, 1 km). Wejściami są dane dostarczane przez: sieć deszczomierzową IMGW-PIB, sieć radarową POLRAD uzupełnioną o dane z radarów zagranicznych, oraz satelity Meteosat. Wszystkie dane są weryfikowane i korygowane dedykowanymi algorytmami. Łączenie poszczególnych danych wejściowych odbywa się za pomocą algorytmu kombinacji warunkowej, uwzględniającego także ilościową informację o rozkładzie przestrzennym ich jakości.



Dzień	Maksymalna dobowa* wartość opadu
12 czerwca	31,1 mm
13 czerwca	24,2 mm
14 czerwca	34,7 mm
15 czerwca	47,9 mm
16 czerwca	42,2 mm
17 czerwca	25,8 mm
18 czerwca	30,9 mm
19 czerwca	22,4 mm
20 czerwca	53,8 mm
21 czerwca	115,2 mm

*Suma dobowa obejmuje okres od godz. 6:00 UTC (dla Polski lokalny czas zimowy +1 godz., lokalny czas letni +2 godz.) dnia poprzedniego do godz. 6:00 UTC dnia bieżącego i zapisywana jest pod datą końcową okresu sumowania (1,0 mm = 1 litr/m²).



Brak wizualizacji

Liczba wyładowań doziemnych CG – suma 24 godz.

Dane o wyładowaniach atmosferycznych dostarczane są przez automatyczny system PERUN działający w oparciu o rejestrację towarzyszących wyładowaniom sygnałów radiowych ultrakrótkich VHF i długich LF. Lokalizuje on wyładowania doziemne z dokładnością przestrzenną do 0,5 km i skutecznością około 95%. Dane z tego systemu generowane są co minutę w postaci raportów informujących o poszczególnych wyładowaniach. Dane dostarczane przez system detekcji wyładowań burzowych PERUN są przetwarzane aplikacją LIGHTNING, która przeprowadza kontrolę ich jakości w oparciu o dane radarowe i generuje mapy obrazujące liczbę wyładowań w okręgu o promieniu 5 km w ciągu ostatnich 10 min. Generowane są pola z liczbą wyładowań doziemnych (CG) z rozdzielczością przestrzenną 1 km.

Dzień	Maksymalna liczba wyładowań CG
12 czerwca	66
13 czerwca	26
14 czerwca	57
15 czerwca	brak danych
16 czerwca	9
17 czerwca	24
18 czerwca	68
19 czerwca	34
20 czerwca	273
21 czerwca	532

7. Grubość pokrywy śnieżnej



Grubość pokrywy śnieżnej
Czwartek
11.06.2026
08:00



brak pokrywy

Dane operacyjne ze stacji synoptycznych. Przedstawione wartości w procesie kontroli i weryfikacji mogą ulec zmianie. Czas lokalny. Wzrostające dane: dr. Alan Mandula



Grubość pokrywy śnieżnej
Piątek
12.06.2026
08:00



brak pokrywy

Dane operacyjne ze stacji synoptycznych. Przedstawione wartości w procesie kontroli i weryfikacji mogą ulec zmianie. Czas lokalny. Wzrostające dane: dr. Alan Mandula



Grubość pokrywy śnieżnej
Sobota
13.06.2026
08:00



brak pokrywy

Dane operacyjne ze stacji synoptycznych. Przedstawione wartości w procesie kontroli i weryfikacji mogą ulec zmianie. Czas lokalny. Wzrostające dane: dr. Alan Mandula



Grubość pokrywy śnieżnej
Niedziela
14.06.2026
08:00



brak pokrywy

Dane operacyjne ze stacji synoptycznych. Przedstawione wartości w procesie kontroli i weryfikacji mogą ulec zmianie. Czas lokalny. Wzrostające dane: dr. Alan Mandula



Grubość pokrywy śnieżnej
Poniedziałek
15.06.2026
08:00



brak pokrywy

Dane operacyjne ze stacji synoptycznych. Przedstawione wartości w procesie kontroli i weryfikacji mogą ulec zmianie. Czas lokalny. Wzrostające dane: dr. Alan Mandula



Grubość pokrywy śnieżnej
Wtorek
16.06.2026
08:00



brak pokrywy

Dane operacyjne ze stacji synoptycznych. Przedstawione wartości w procesie kontroli i weryfikacji mogą ulec zmianie. Czas lokalny. Wzrostające dane: dr. Alan Mandula



Grubość pokrywy śnieżnej
Środa
17.06.2026
08:00



brak pokrywy

Dane operacyjne ze stacji synoptycznych. Przedstawione wartości w procesie kontroli i weryfikacji mogą ulec zmianie. Czas lokalny. Wzrostające dane: dr. Alan Mandula



Grubość pokrywy śnieżnej
Czwartek
18.06.2026
08:00



brak pokrywy

Dane operacyjne ze stacji synoptycznych. Przedstawione wartości w procesie kontroli i weryfikacji mogą ulec zmianie. Czas lokalny. Wzrostające dane: dr. Alan Mandula



Grubość pokrywy śnieżnej
Piątek
19.06.2026
08:00



brak pokrywy

Dane operacyjne ze stacji synoptycznych. Przedstawione wartości w procesie kontroli i weryfikacji mogą ulec zmianie. Czas lokalny. Wzrostające dane: dr. Alan Mandula



Grubość pokrywy śnieżnej
Sobota
20.06.2026
08:00

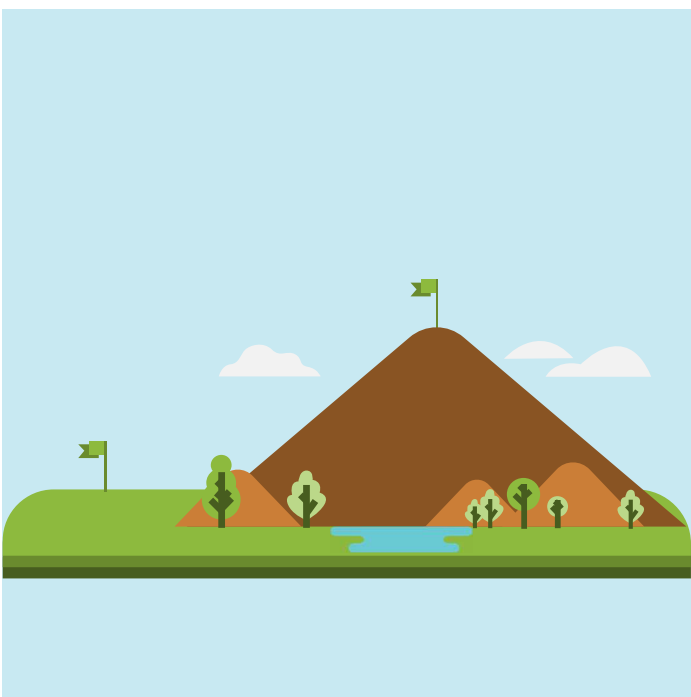


brak pokrywy

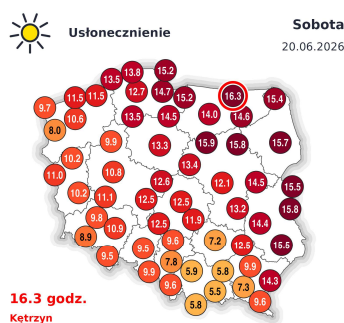
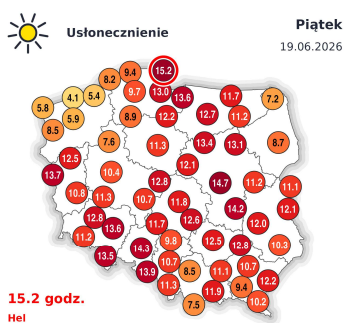
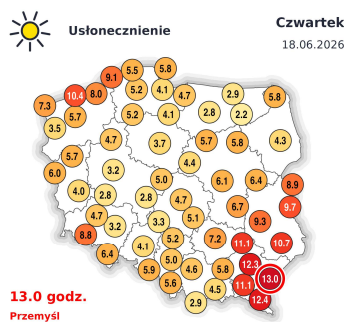
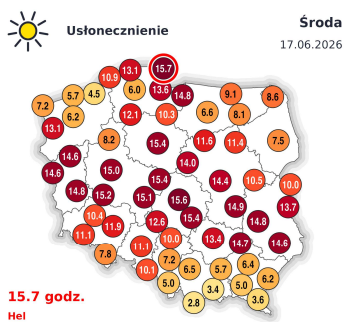
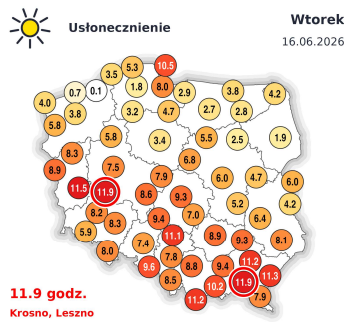
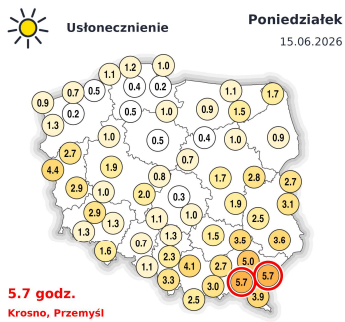
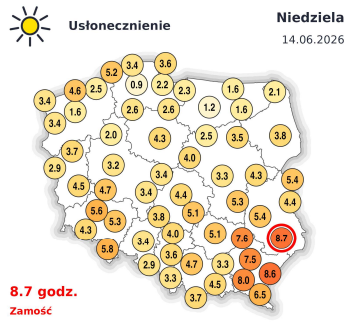
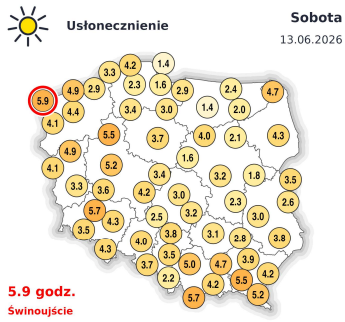
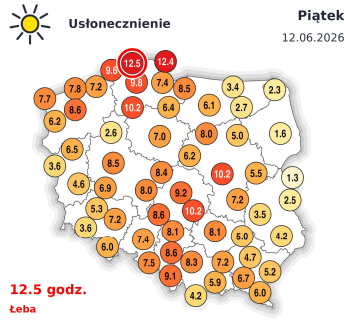
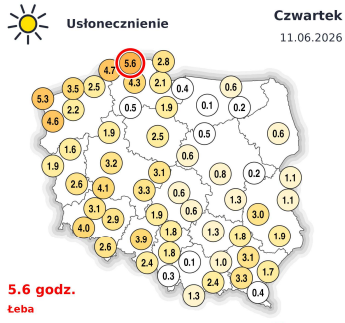
Dane operacyjne ze stacji synoptycznych. Przedstawione wartości w procesie kontroli i weryfikacji mogą ulec zmianie. Czas lokalny. Wzrostające dane: dr. Alan Mandula



Druga dekada miesiąca
W okresie drugiej dekady miesiąca nie zarejestrowano przyrostu pokrywy śnieżnej.



W czasie drugiej dekady czerwca nie zarejestrowano pokrywy śnieżnej.

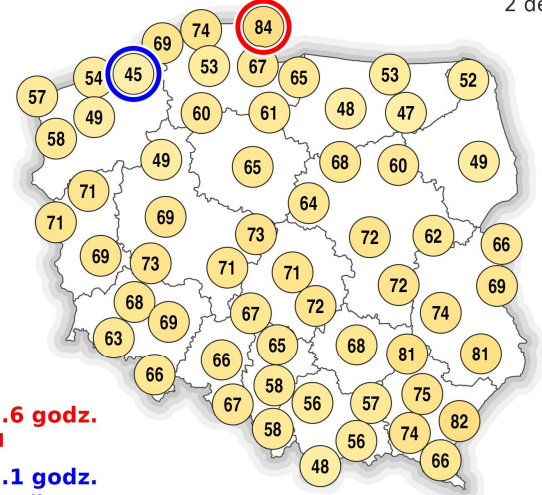


Druga dekada miesiąca

W drugiej dekadzie czerwca najwyższą wartość usłonecznienia odnotowano 20 czerwca na stacji synoptycznej w Kętrzynie (16 godzin i 18 minut).

W okresie drugiej dekady czerwca na stacji synoptycznej w Helu dopływ promieniowania słonecznego oceniono na 83 godziny i 36 minut.

Usłonecznienie **CZERWIEC 2026**
2 dekada



83.6 godz.
Hel

45.1 godz.
Koszalin

Opracowano na podstawie danych operacyjnych ze stacji synoptycznych. Prezentowane wartości w procesie kontroli i weryfikacji mogą ulec zmianie. Wizualizacja danych: dr Alan Mandal

Usłonecznienie możliwe (czas z dopływem bezpośredniego promieniowania słonecznego w okresie dnia) dla stacji synoptycznej w Helu wynosi 11 czerwca 17h 11m 14s a 20 czerwca 17h 17m 02s.



INFORMATOR METEOROLOGICZNY LMM
NUMER 89 / CZERWIEC 2026
DRUGA DEKADA
TERYTORIUM RZECZPOSPOLITEJ POLSKIEJ

Autor: dr Radosław Drożdźoł¹

¹ Centrum Meteorologicznej Osłony Kraju | Laboratorium Modelowania Meteorologicznego



MODELE
IMGW-PIB
modele.imgw.pl

Dodatkowe informacje:

Laboratorium Modelowania Meteorologicznego

E-mail: modele@imgw.pl

www: modele.imgw.pl



Instytut Meteorologii i Gospodarki Wodnej – Państwowy Instytut Badawczy
01-673 Warszawa
ul. Podleśna 61